

# 掃流砂量の研究

北大工 正員 岸 力  
 北大工 正員 ○黒木幹男  
 北大工 学生員 今泉正次

## 1 序論

河道には高水流量を安全に流下させることができる河積を持たせ、河道を安定させることが必要である。沖積地河道では河床を構成する土砂が流水によつて下流へ輸送されるいわゆる流砂現象が生ずる。流砂は局所的又は河道全体にわたる不均衡が生ずると、河床変動が起ることとは良く知られている。河床変動は流水の破壊能力を減少させるだけではなく、河川構造物に障害を与える河口閉塞等も生ずるに至る。この様に河川工学上の諸問題には直接、間接に流砂が関係しており、問題の正しい解決のためにには流砂現象に対する正確な知識がなくてはならない。沖積地河川の流砂量と水理量との関係を明らかにしようとする試みはこれまで多くの研究者や技術者によって行われてきており、その結果は幾多の流砂量式の提案となって現われていね。これまでの研究によつて、流砂現象に関するパラメーターはほぼ明らかになつていいと言えても差支えないが、広く水理量の範囲にわたつて現象と適合する様な実用的な流砂量式はまだない様である。流砂現象は複雑で問題の解決を妨げつゝものの中の一つに河床に発生する河床波の存在が揚げられる。流砂量、水理量および河床形態が閉じたシステムを構成しており、強い相互作用を働いてゐる。問題解決のためにはこの閉じた鎖をとき放つことが必要である。

著者らは今まで諸水理量の関係を整備された実験水路の資料を用いて、直線流の場合について各河床形態ごとの水理量の特性を明らかにした[1, 2]。本報告では同一の実験資料に基いて、流砂量と水理量の関係、河床形態がそれぞれに及ぼす効果について調べた結果を報告する。

## 2 従来の流砂量式の検討

全流砂量を算定する主要な方法の一つとして、全流砂量と掃流砂量と浮遊流砂量に分ける考え方がある。掃流砂と浮遊砂を区分して取扱う理由の一つは、両者の輸送形態の相違にある。掃流砂は掃流層と呼ばれる河床近くの薄い層の中での砂の移動現象であり粒子は転動、滑動、小跳躍をくり返しながら流下する。これに対して浮遊砂は掃流層の上方、水面までの流体中に浮遊して輸送される。しかし両者の間には粒子の交換が常に行われており、明確に両者を区分する様な線は存在するわけではない。異なる二つの物理モデルに依つて粒子の輸送を説明しようとする両者の区方は重要な意味を持つことになる。

全流砂量を二つの部分に区分する他の理由は、両者の測定方法の違いによる。掃流砂は適当なトラップで、浮遊砂は砂を含んだ木のサンルルから測定される。

この様に全流砂量を二つに区分する方法に対して、両者を統一的に取扱おうとする試みもある。これは河床材料を輸送する流体力は同一のものであるとの立場にたつ。

前者には Einstein [3, 4], Bagnold [5], Toffaletti [6] など、後者には Laursen [7], Graf [8] などの方法がある。どちらの方法が流砂の運動機構を解明し、実用的な流砂量式を得るための近道であるかは現段階では判断が難しい。ここでは河床波の効果をどの様に評価式の中に取り入れるかについて、上に揚げた研究の幾つかについて調べてみる。

Graf は無次元掃流砂量重を次式の様に表わしている。

$$\Phi = \frac{\bar{C} \bar{U} \cdot R}{\sqrt{s g d^3}} \quad (1)$$

多くの実験資料を整理して開水路・管水路の両方を包含する実験式として

$$\Phi = 10.39 \tau_*^{2.52} \quad (2)$$

を得ている。但し、 $\bar{C}$  は体積で表わした流砂濃度、 $\bar{U}$  は平均流速、 $R$  は径深、 $s = (P_s - P) / \rho g$  が砂粒の水中比重、 $d$  は河床材料の平均粒径、 $\tau_*$  は無次元剪断力で次式で表わされる。

$$\tau_* = \frac{U_*^2}{s g d} = \frac{R I}{s d} \quad (3)$$

Guy et al [9], Gilbert [10], 佐藤・吉川・芦田 [11] の実験資料を用いて重と  $\tau_*$  の関係を調べた。図-1 に示すように Graf の実験式は資料の傾向とはよく一致しているが、測定のまわりは必ずしも良好ではない。同一の  $\tau_*$  の値に対して重の実測値は ±100% 以上のばらつきを示す。

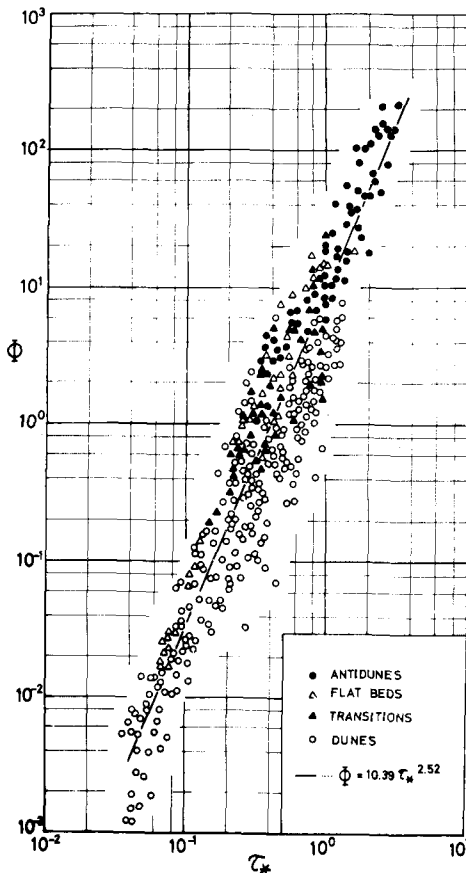


図-1 全剪断应力と流砂量の関係 (Graf)

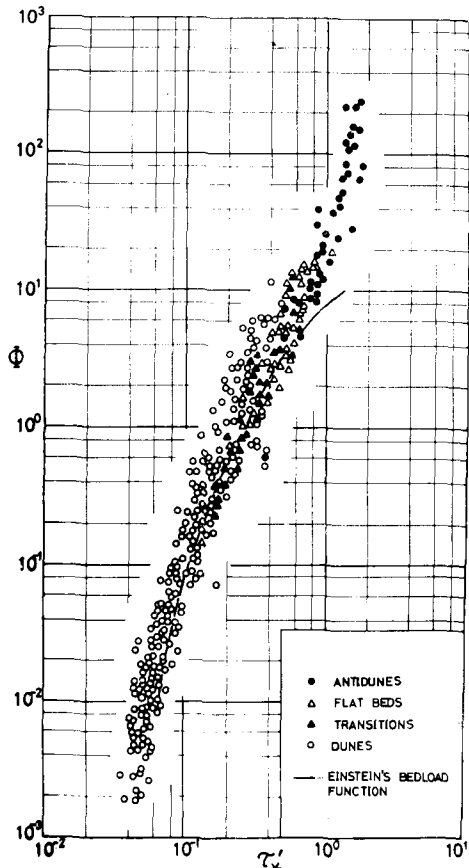


図-2 有効剪断应力と流砂量の関係 (Einstein)

Einstein は経深  $R$  を砂粒粗度による部分  $R'$  と、河床波の形状抵抗による部分  $R''$  に分割し、河床材料の輸送に寄与するのは Eq. (4) で定義された有効剪断応力であるとしている。

$$\frac{\bar{u}}{\sqrt{gR'I}} = 5.75 \log_{10} \left( \frac{12.27 R' X}{d_{65}} \right) \quad (4)$$

この有効剪断応力は考え方は、その後山種々の形で多く用いられており、その妥当性については大である。図-2 は Einstein の方法で整理した流砂量の関係を示す。

Bagnold は単位面積、単位時間当たりの流体のポテンシャルエネルギーの損失分  $E_p$  及び流砂を輸送されるのに用いられる考え方である。

$$E_p = \gamma_w I \int_0^h u dy = \gamma_w h I \bar{u} = T_0 \bar{u} \quad (5)$$

$$q_{sb} \tan \alpha = e_b E_p \quad (6)$$

$$q_{ss} \frac{w}{\bar{u}_s} = e_s (1 - e_b) E_p \quad (7)$$

と表わした。  $q_{sb}$ ,  $q_{ss}$  は夫々掃流砂量、浮遊流砂量で水中重量で表わしている。 $e_b$ ,  $e_s$  は各輸送形態における流砂の輸送効率、 $w$  は砂粒の沈降速度、 $\bar{u}_s$  は河床材料の移動速度、 $\tan \alpha$  は掃流砂と河床の摩擦係数である。

$\bar{u}_s \approx \bar{u}$  と仮定して実用的流砂量式を

$$q_s = q_{sb} + q_{ss} = \left[ \frac{e_b}{\tan \alpha} + 0.01 \frac{\bar{u}}{w} \right] T_0 \bar{u} \quad (8)$$

と与えている。上式の説明に際して Bagnold は河床波の影響について言及していないが、 $\bar{u}$  を通じて粗度係数の形で表現していると考えることが出来る。図-3 は実測値との比較の一例を示す。

以上の結果から(1)河床剪断力だけで流砂量を表現することは困難であり、(2)河床波の効果を考慮する必要があり、これには有効剪断力、粗度係数の導入などに考えられる。現段階の流砂量研究の主たる興味の一つは、測点のばらつきの少ない流砂量式の表現を工夫することにある。

### 3 沖積地河川の流砂量

#### 3.1 河床領域区分

本報告で取扱う河床形態は、小規模河床形態に属するものの中でも 砂堆(Dune), 遷移(Transition), 平坦(flat bed), 反砂堆(Antidune)の4つである。著者等は Garde-Raju の領域区分図を Guy et. al, Gilbert などの実験資料で面積に対する図-4 に示す区分図を得た。図中の曲線1, 2 は夫々遷移、反砂堆の発生限界である。

$$I/s = 0.02 \left( \frac{R}{d} \right)^{-\frac{1}{2}} \quad \text{for curve 1} \quad (9)$$

$$I/s = 0.07 \left( \frac{R}{d} \right)^{-\frac{3}{5}} \quad \text{for curve 2} \quad (10)$$

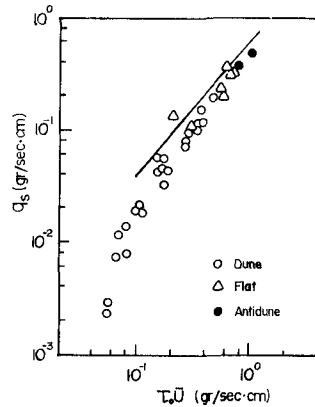


図-3 流れのエネルギーと流砂量の関係  
(Bagnold)

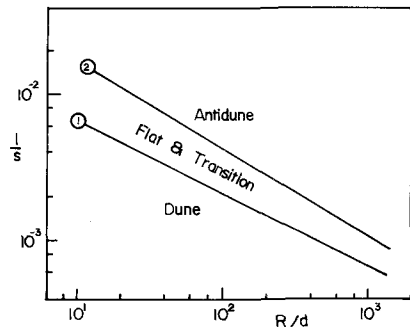


図-4 河床形態の領域区分図

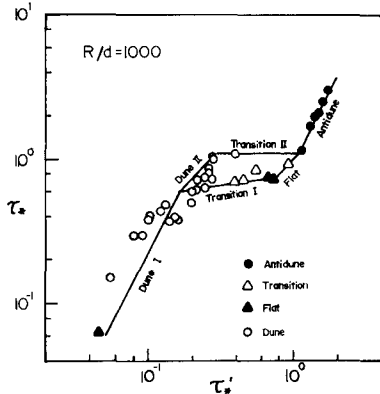
### 3.2 河床形態と流体抵抗

移動床流れでは河床に生起する河床形態によらず流れの抵抗特性は顕著な変化を示す。河床波による抵抗特性の変化は丘(4)を指數型で近似して次の様に変形すれば

$$\psi_0 = \frac{\bar{U}}{U_*} = 7.66 \left( \frac{R}{2d} \right) \left( \frac{T'_*}{T_*} \right)^{2/3} \quad (11)$$

となり、右辺の  $(T'_*/T_*)^{2/3}$  がこれを表わすことになる。著者らは Guy 等, Gilbert, 佐藤・吉川・芦田の実験資料を整理して  $R/d$  の値ごとに図-5 を示す様な  $T'_*$  と  $T_*$  の関係を得た。この図から砂堆・遷移河床は抵抗特性の異なる 2 領域に細分されることが判った。各河床形態について  $T'_*$  と  $T_*$  の関係を定式化する。

$$\left. \begin{array}{ll} \text{Dune I} & T'_* = 0.21 T_*^{1/2} \\ \text{Dune II} & T'_* = 1.49 (R/d)^{-1/4} T_* \\ \text{Flat} & T'_* = (K_0/k)^{3/4} T_* \\ \text{Transition I} & T'_* = 6.5 \times 10^7 (R/d)^{5/2} T_*^{11/2} \\ \text{Transition II} & T'_* \text{ は } T_* \text{ に独立に変化する} \\ \text{Antidune} & T'_* = 0.264 (R/d)^{1/5} T_*^{1/2} \end{array} \right\} \quad (12)$$



### 3.3 実用的流砂量

前述の様に Bagnold はエネルギー的立場から流砂現象を取扱い、興味ある結果を得た。原式では  $q_s = 0$  として計算すると  $\bar{U} < 0$  となるなど表現に若干の問題はあるが砂粒の移動限界付近を除けば実験値とよく一致している。Yalin [13] は  $\psi_0 = \bar{U}/U_*$  を用いて Bagnold の式を変形して

$$\frac{q_s}{\rho U_*^3} = \psi_0 \left[ \frac{e_b}{tan \alpha} + 0.01 \psi_0 \frac{U_*}{w} \right] \quad (13)$$

を得る。上式は更に  $T'_*$  が大きくなると

$$q_s \rightarrow 0.01 \psi_0^2 \rho \frac{U_*^4}{w} = 0.01 \psi_0^2 \frac{T_*^2}{\rho w} \quad (14)$$

となり、この関係は浮遊砂を多く含む実際の川の資料とよく一致するとして述べている。

この表現は河床波の効果を直接  $\psi_0$  を用いて表わしたものと興味深い。Eq. (14) を変形し

$$F_f \Phi = 0.08 T_*^2 \quad (15)$$

を得る。但し  $f = 8/\psi_0^2$ ,  $F_f = w/\sqrt{sgd}$ 。

$F_f$  は無次元沈降速度で Rubey [14] によれば次式で表わされる。

図-5 有効剪断応力  $T'_*$  と全剪断応力  $T_*$  の関係

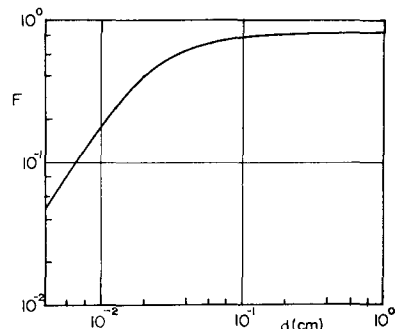


図-6 砂粒の沈降速度 (Rubey)

$$F = \frac{w}{\sqrt{sgd}} = \sqrt{\frac{2}{3} + \frac{36D^2}{5gd^3}} - \sqrt{\frac{36D^2}{5gd^3}} \quad (16)$$

木中にある砂の場合は  $F$  の値は粒径によって図-6と示す様に変化する。図から  $d < 0.05 \text{ cm}$  の砂では沈降速度を粒径に応じて補正する必要があることわかる。

Guy et. al., Gilbert, 佐藤・吉川・芦田の実験資料を用い、Eq. (15)を検討し図-7を得た。図では各河床形態ごとに記号を変えてプロットしたが、河床形態による相違はほとんど認められない。プロットは非常に多くまとまっており定数値のちからを除けば Eq. (15) とよく傾向が似ている。実験結果と一致するよう定数値を改めると次の様な実験式を得る。

$$Ff\Phi = 0.35 (\tau_* - \tau_{*c})^2 \quad (17)$$

但し、 $\tau_{*c}$  は限界剪断応力で図では  $\tau_{*c} = 0.040$  としてその値を実線で示した。

Engelund [15] は抵抗の相似仮説から類似の関係

$$f\Phi = f_{ct}(\tau_*)$$

を予測し、Guy et. al の実験資料から Eq. (18) に示す様な実験式を得た。

$$f\Phi = 0.1 \tau_*^{2.5}$$

Engelund が仮定した抵抗の相似仮説の成立を証明されないば、Eq. (17) と Eq. (18) は非常に似た関係を示している。

以上の考察を総合して、冲積地河川における流砂量の推定を、流れの水深、勾配、河床材料の諸特性のみを知り、を行なうこととする。  
その手順を略記すると

- (1) 与えられた水理量を発生する河床形態を図-1より推定する。
- (2) 推定した河床形態に対応する抵抗則を図-2、又は Eq. (12) から求める。
- (3) 更に Eq. (11) より  $f$  の値を計算する。
- (4) Eq. (17) から重り値を計算できる。

以上のような手順は従来は直接平均流速  $U$  を測定することが困難な場合などに、精度よく流砂量を推定することができる。

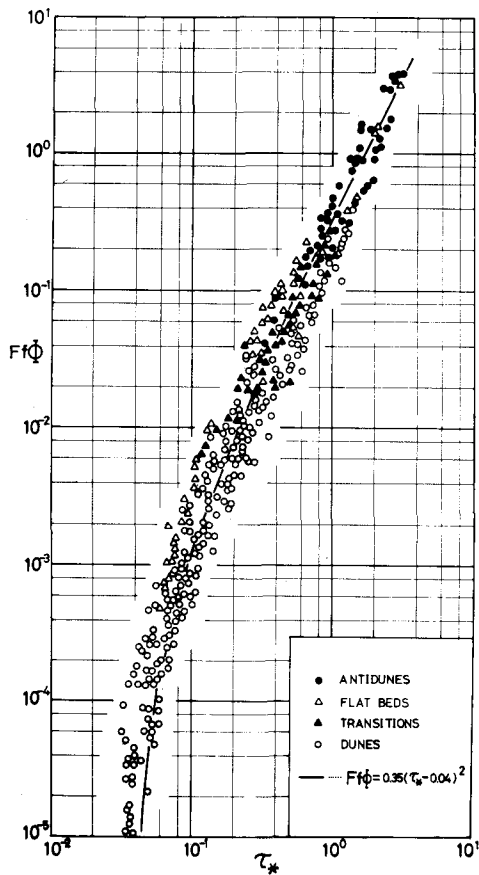


図-7  $Ff\Phi$  と  $\tau_*$  の関係

#### 4まとめ

沖積地河川の流砂量について水理量との関係、河床形態の効果などを水路実験の資料によって調べた。得られた結論を以下に列記する。

(1) 流砂量を流体抵抗 $f$ 、無次元流速 $F_f$ の式と補正量を用いて

$$F_f = 0.35 (\tau_* - \tau_{*c})^2$$

と表し、実測値との良好な一致を確認した。

(2) 粒径によって沈降速度の効果があり、 $d < 0.05 \text{ cm}$  の石では補正が必要である。この補正量を $F_f$ とする。

(3) 流れの抵抗予測を Eq.(12) を用いて行なう。流砂量式と Eq.(17) を用いると、水深、勾配、河床材料の特性のみを知り、流砂量を算定できる。

流砂量を河床形態ごとに整理した結果では、有効剪断力又は粗度係数を用いて補正を行えば、形態によらず著しくなることがわかった。しかし細めに見れば、Einsteinの方法によるカットでは Dune に属する測点は Antidune より上側に集まる傾向が認められ、著者らの整理ではこの関係が逆転している。

このように河床形態による相違は観測資料のばらつきの中にかくしてしま程度のものであるので、今後は精度の高い実験資料の収集と共に、仰々の測点のちらばりの原因に対する考察が必要になる。

#### 参考文献

- (1) 岸力、黒木幹男、今泉正次「沖積地河川における水位-流量関係の予測」土木学会北海道支部研究発表論文集 第29号 1973. 2月
- (2) 岸力、黒木幹男「移動床流れにおける河床形状と流体抵抗 (I)」北海道大学工学部研究報告第67号
- (3) Einstein, H.A "Formulas for the transportation of bed load" Trans. ASCE 107, 1942
- (4) Einstein, H.A "The Bed-load Function for Sediment transportation in open channel flows" U.S. Dept. Agriculture, Soil Conservation Ser., Tech Bull. 1026, 1950
- (5) Bagnold, R.A. 文獻[13]中を紹介
- (6) Toffaleti, F. B. "Definit Computations of Sand Discharge in Rivers" Jour. ASCE. HY1 1969
- (7) Laursen, M. "The total Sediment load of Streams" Proc. ASCE. HY1. 1958
- (8) Graf, W.H. "Hydraulics of Sediment Transport" McGraw-Hill, 1971
- (9) Guy, H.P., Simons, D.B., Richardson E.V. "Summary of Alluvial channel Data From Flume Experiments, 1956-61" U.S. Geol. Survey Profes. Paper 462-I, 1966
- (10) Gilbert, G.K. "The Transportation of Debris by Running water" U.S. G.S. Profes. Paper 86 1964
- (11) 佐藤清一・吉川秀夫・芦田和男「河床砂礫の輸送に関する研究(1)」土木研究所報告 98号 1956
- (12) Garde R. J. - Raju K. G. R. "Regime Criteria for alluvial Streams" Jour. ASCE HY.6 1963 (13) Yalin, M.S. "Mechanics of Sediment Transport" Pergamon p. Ltd.
- (14) Rubney, W.W. "Settling velocities of Gravel, Sand and Silt" American Jour. of Science, 25-148, 1903
- (15) Engelund F. Closure for "Hydraulic Resistance of Alluvial Streams" Proc. ASCE HY4, 1967